

Katowice, dn. 2024-04-12

T-Mobile Polska S.A.  
ul. Marynarska 12  
02-674 Warszawa

Pełnomocnik: Magdalena Druszcz  
Pełnomocnictwo numer: 166/01/21  
z dnia: 2021-01-13

**dane do korespondencji:**

**NetWorks Sp. z o.o.**  
ul. Józefa Piusa Dziekońskiego 3  
00-728 Warszawa  
tel. 518427631

**Starosta Sandomierski**  
**Starostwo Powiatowe w Sandomierzu**  
**ul. Mickiewicza 34**  
**27-600 Sandomierz**

W nawiązaniu do wniosku z dn. 30 01.2024 r. dot. ustawowego obowiązku, wynikającego z art. 152 ust. 1 i ust 7 w związku z ust. 6 pkt 1c ustawy z dnia 27 kwietnia 2001r – Prawo ochrony środowiska (Dz.U 2024 poz. 54), dla instalacji radiokomunikacyjnej **56107 (24107N!) KTB\_SANDOMIER\_OPEC**, wnoszę o korektę do treści w nim zawartych.

W punkcie 12 nie zostały podane dane anten we właściwy sposób.

Właściwa treść punktu 12:

**12. Szczegółowe dane, odpowiednio do rodzaju instalacji, zgodne z wymaganiami określonymi w załączniku nr 2 do Rozporządzenia:**

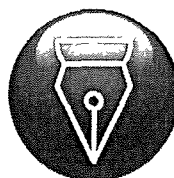
Lp.	1)	2)	3)	4)	5)	
	Współrzędne geograficzne	Częstotliwość lub zakresy częstotliwości pracy instalacji [MHz]	Wysokość środka elektrycznego anteny [m n.p.t]	Równoważna moc promieniowana izotropowo (EIRP) [W]	Azymut [°]	Kąt pochylenia lub zakresy kątów pochylenia [°]
1.	21°43'27.7" 50°41'15.6"	800/900/1800/ 2100/2600	32	30754	43	-2-10/-2-10/ -3-9/-3-9/ -3-9
2	21°43'27.8" 50°41'15.6"	3600	32	57020	43	0-12
3.	21°43'27.8" 50°41'15.4"	800/900/1800/ 2100/2600	32	30754	170	-2-10/-2-10/ -2-10/-2-10/ -2-10

4.	21°43'27.7" 50°41'15.4"	3600	32	57020	170	0-12
5.	21°43'27.5" 50°41'15.5"	2600	32	8977	280	-4-8
6	21°43'27.5" 50°41'15.5"	1800/2100	32	11897	280	2.5/2.5
7.	21°43'27.5" 50°41'15.5"	3600	32	57020	280	0-12
8.	21°43'27.6" 50°41'15.5"	800/900	57	8032	280	-2-10/-4-8
9.	21°43'27.7" 50°41'15.6"	23000/80000	33.8	5637/6310	47*	nd.
10.	21°43'27.8" 50°41'15.5"	23000/80000	33.3	9355/6310	111*	nd.
11	21°43'27.8" 50°41'15.5"	38000	57	355	135*	nd.
12.	21°43'27.8" 50°41'15.5"	80000	<b>56</b>	7080	146*	nd.
13	21°43'27.7" 50°41'15.4"	32000	<b>56</b>	631	187*	nd.
14	21°43'27.5" 50°41'15.5"	23000	33.7	6472	230*	nd.
15.	21°43'27.5" 50°41'15.5"	18000	33.5	3244	260*	nd.
16	21°43'27.5" 50°41'15.5"	38000	<b>34</b>	15	332*	nd.
17	21°43'27.6" 50°41'15.6"	18000	33.5	3244	335*	nd.

\*) tolerancja azymutu od -10° do + 10°

Otrzymują:

1. a/a
2. adresat



Signed by /  
Podpisano przez.

Magdalena  
Druszcz

Date / Data: 2024-  
04-12 14:52



NetWorks Sp. z o.o.  
Laboratorium Badań Środowiskowych  
ul. Józefa Piusa Dziekońskiego 3  
00-728 Warszawa  
e-mail: [Laboratorium@networks.pl](mailto:Laboratorium@networks.pl)

## ANEKS

DOT. SPRAWOZDANIA 12375/2023/OS  
Z POMIARÓW PÓL ELEKTROMAGNETYCZNYCH  
WYKONANYCH DLA POTRZEB OCHRONY ŚRODOWISKA.

Badany obiekt: Instalacja radiokomunikacyjna T-Mobile Polska S.A.

Numer i nazwa: 56107 (24107N!) KTB\_SANDOMIER\_OPEC

Adres: SANDOMIERZ, POLSKIEJ ORGANIZACJI WOJSKOWEJ 8, Powiat sandomierski, WOJ.  
ŚWIĘTOKRZYSKIE

Data: 2024-03-19

Aneks do sprawozdania z badań bez pisemnej zgody laboratorium nie może być powielane inaczej niż w całości.  
Wynik przedstawione w niniejszym aneksie do sprawozdania odnoszą się wyłącznie do badanego obiektu i do warunków i konfiguracji urządzeń w dniu wykonywania pomiarów.

W wyniku błędu komputerowego zostały wpisane złe wysokości anten radioliniowych w tabeli „Parametry radiolinii” znajdującej się w punkcie: **7.3 Parametry techniczne źródła pola elektromagnetycznego**. Zmiana wysokości dotyczy wiersza 4, 5 oraz 8

**Było:**

Parametry radiolinii:

Charakterystyka promieniowania				kierunkowa			
Rzeczywisty czas pracy [h/dobę]				24			
Warunki pracy				znamionowe			
Rodzaj wytwarzanego pola				stacjonarne			
Lp.	Linia radiowa			Antena			
	Typ/ Producent	Częstotliwość pracy [GHz]	Równoważna moc promieniowana izotropowo (EIRP) [W]	Typ/ producent	Średnica anteny [m]	Azymut [°]	Wysokość zainstalowania n.p.t [m]
1.	RTN XMC-5D 23G 28MHz XPIC <w.br/>RTN 380AX DC 70/80GHz 250MHz Huawei	23/80	5637/6310	A23D80S06 Huawei	0.6	47	33 8
2.	RTN XMC-3E 23G 28MHz XPIC <w.br/>RTN 380AX 70/80GHz 125MHz Huawei	23/80	9355/6310	A23D80S06 Huawei	0.6	111	33 3
3.	NEC iPasolink 200 Harris Stratex	38	355	VHLP1-38 Andrew	0.3	135	57
4.	NEC iPasolink EX Harris Stratex	80	7080	VHLP2-80 Andrew	0.6	146	35
5.	NEC iPasolink 100E Harris Stratex	32	631	VHLP1-32 Andrew	0.3	187	35
6.	RTN XMC-5D 23G 28MHz XPIC Huawei	23	6472	A23D06 Huawei	0.6	230	33 7
7.	RTN XMC-5D 18G 28MHz XPIC Huawei	18	3244	A18D80S06 Huawei	0 6	260	33 5
8.	NEC iPasolink 100E Harris Stratex	38	15	VHLP1-38 Andrew	0 3	332	57
9.	RTN XMC-5D 18G 28MHz XPIC Huawei	18	3244	A18D80S06 Huawei	0 6	335	33.5

Aneks do sprawozdania z badań bez pisemnej zgody laboratorium nie może być powielane inaczej niż w całości. Wynik przedstawione w niniejszym aneksie do sprawozdania odnoszą się wyłącznie do badanego obiektu i do warunków i konfiguracji urządzeń w dniu wykonywania pomiarów.

**Powinno być:**

Parametry radiolinii:

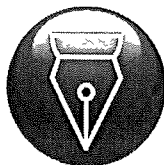
Charakterystyka promieniowania			kierunkowa				
Rzeczywisty czas pracy [h/dobę]			24				
Warunki pracy			znamionowe				
Rodzaj wytwarzanego pola			stacjonarne				
Lp.	Linia radiowa			Antena			
	Typ/ Producent	Częstotliwość pracy [GHz]	Równoważna moc promieniowana izotropowo (EIRP) [W]	Typ/ producent	Średnica anteny [m]	Azymut [°]	Wysokość zainstalowania n.p.t [m]
1.	RTN XMC-5D 23G 28MHz XPIC<w.br/>RTN 380AX DC 70/80GHz 250MHz Huawei	23/80	5637/6310	A23D80S06 Huawei	0 6	47	33 8
2.	RTN XMC-3E 23G 28MHz XPIC<w.br/>RTN 380AX 70/80GHz 125MHz Huawei	23/80	9355/6310	A23D80S06 Huawei	0.6	111	33 3
3.	NEC iPasolink 200 Harris Stratex	38	355	VHLP1-38 Andrew	0 3	135	57
4.	NEC iPasolink EX Harris Stratex	80	7080	VHLP2-80 Andrew	0.6	146	56
5.	NEC iPasolink 100E Harris Stratex	32	631	VHLP1-32 Andrew	0 3	187	56
6.	RTN XMC-5D 23G 28MHz XPIC Huawei	23	6472	A23D06 Huawei	0 6	230	33 7
7.	RTN XMC-5D 18G 28MHz XPIC Huawei	18	3244	A18D80S06 Huawei	0.6	260	33.5
8.	NEC iPasolink 100E Harris Stratex	38	15	VHLP1-38 Andrew	0 3	332	34
9.	RTN XMC-5D 18G 28MHz XPIC Huawei	18	3244	A18D80S06 Huawei	0 6	335	33 5

Aneks do sprawozdania z badań bez pisemnej zgody laboratorium nie może być powielane inaczej niż w całości. Wynik przedstawione w niniejszym aneksie do sprawozdania odnoszą się wyłącznie do badanego obiektu i do warunków i konfiguracji urządzeń w dniu wykonywania pomiarów.

Płony pomiarowe zmierzone w dniu pomiarów tj. 2024-02-08 pozostają bez zmian.

**Niniejszy aneks proszę dołączyć do każdej z kopii sprawozdania.**

Aneks wykonał :



Signed by /  
Podpisano przez.

Angelika  
Okoniewska

Date / Data  
2024-03-19 14:57

Aneks autoryzował:

Tomasz  
Zborowski

Elektronicznie  
podpisany przez  
Tomasz Zborowski  
Data: 2024.03.20  
12:43:18 +01'00'

Aneks do sprawozdania z badań bez pisemnej zgody laboratorium nie może być powielane inaczej niż w całości.  
Wynik przedstawione w niniejszym aneksie do sprawozdania odnoszą się wyłącznie do badanego obiektu i do warunków i konfiguracji urządzeń w dniu wykonywania pomiarów.



NetWorks Sp. z o.o.  
Laboratorium Badań Środowiskowych  
ul. Józefa Piłsudskiego 3  
00-728 Warszawa  
e-mail: [Laboratorium@networks.pl](mailto:Laboratorium@networks.pl)



AB 419

S P R A W O Z D A N I E 12375/2023/OS  
Z POMIARÓW PÓL ELEKTROMAGNETYCZNYCH  
WYKONANYCH DLA POTRZEB OCHRONY ŚRODOWISKA

Badany obiekt: Instalacja radiokomunikacyjna T-Mobile Polska S.A.  
Numer i nazwa: 56107 (24107N1) KTB\_SANDOMIER\_OPEC  
Adres: SANDOMIERZ, POLSKIEJ ORGANIZACJI WOJSKOWEJ 8, Powiat sandomierski, WOJ.  
ŚWIĘTOKRZYSKIE

Data wykonania pomiarów: 2024-02-08

Sprawozdanie z badań bez pisemnej zgody laboratorium nie może być powielane inaczej niż w całości.  
Wynik przedstawione w niniejszym sprawozdaniu odnoszą się wyłącznie do badanego obiektu i do warunków i konfiguracji urządzeń w dniu wykonywania pomiarów.

**1. Właściciel badanego obiektu:**

T-Mobile Polska S.A., ul. Marynarska 12, 02-674 Warszawa

**2. Zleceniodawca:**

T-Mobile Polska S.A., ul. Marynarska 12, 02-674 Warszawa

**3. Przedstawiciel zleceniodawcy:**

NetWorks Sp. z o.o.

**4. Zakres zlecenia:**

Wykonanie badania i opracowanie sprawozdania z pomiarów natężenia pola elektrycznego i pola magnetycznego dla instalacji radiokomunikacyjnej T-Mobile Polska S.A. zlokalizowanej w miejscowości SANDOMIERZ, POLSKIEJ ORGANIZACJI WOJSKOWEJ 8.

**5. Cel zlecenia:**

Wykonanie pomiarów pól elektromagnetycznych w otoczeniu instalacji radiokomunikacyjnej 56107 (24107N1) KTB\_SANDOMIER\_OPEC w odniesieniu do wymagań określonych w *Rozporządzeniu Ministra Klimatu z dnia 17 lutego 2020 r. w sprawie sposobów sprawdzania dotrzymania dopuszczalnych poziomów pól elektromagnetycznych w środowisku (Dz.U. 2022 poz. 2630)*.

**6. Pomiary zostały wykonane przez:**

Papka Paweł

**7. Informacje o źródłach pól elektromagnetycznych**

**7.1. Sposób identyfikacji badanych źródeł pól elektromagnetycznych**

Identyfikacji źródeł i parametrów technicznych dokonano na podstawie analizy dokumentacji dotyczącej zlecenia oraz obserwacji miejsca wykonywania badań.

**7.2. Opis miejsca zainstalowania anten i urządzeń technicznych. Opis obiektu badań i jego otoczenia**

Instalacja radiokomunikacyjna zlokalizowana jest na terenie nieogrodzonym. Anteny zawieszono na kominie. Urządzenia sterujące oraz zasilające zainstalowano w kontenerze u podstawy komina. Wokół instalacji znajdują się miasto, tereny przemysłowe, tereny zielone.

Instalacja radiokomunikacyjna jest obiektem bezobsługowym. Okresowe stanowiska pracy związane są z prowadzonymi w zależności od potrzeb konserwacjami, przeglądami, strojeniem i naprawami.

Sprawozdanie z badań bez pisemnej zgody laboratorium nie może być powielane inaczej niż w całości  
Wynik przedstawione w niniejszym sprawozdaniu odnoszą się wyłącznie do badanego obiektu i do warunków i konfiguracji urządzeń w dniu wykonywania pomiarów.



### 7.3. Parametry techniczne źródła pola elektromagnetycznego

Dane przedstawiające maksymalne parametry pracy instalacji przekazane przez zleceniodawcę:

Parametry systemu nadawczo-odbiorczego:

Charakterystyka promieniowania		kierunkowa					
Rzeczywisty czas pracy [h/dobę]		24					
Warunki pracy		znamionowe					
Rodzaj wytwarzanego pola		stacjonarne					
Lp.	Częstotliwość lub zakresy częstotliwości pracy [MHz]	Typ/producent anteny	liczba anten	Azymut [°]	kąt pochyleń [°]	Wysokość środka elektrycznego anteny [m n.p.t.]	Równoważna moc promieniowana izotropowo (EIRP) [W]
1	800/900/1800/2100/2600	ASI4518R39v07 Huawei	1	43	-2-10**/-2-10**/-3-9**/-3-9**/-3-9**	32	30754
2	3600	AAU5349 Huawei	1	43	0-12**	32	57020
3	800/900/1800/2100/2600	ASI4518R39v07 Huawei	1	170	-2-10**/-2-10**/-2-10**/-2-10**/-2-10**	32	30754
4	3600	AAU5349 Huawei	1	170	0-12**	32	57020
5	2600	ADU4518R6v06 Huawei	1	280	-4-8**	32	8977
6	1800/2100	ADU4518R6v06 Huawei	1	280	2.5*/2.5*	32	11897
7	3600	AAU5349 Huawei	1	280	0-12**	32	57020
8	800/900	ADU4517R0v06 Huawei	1	280	-2-10**/-4-8**	57	8032

\* wskazane wartości kąta pochyleń anten, zgodnie z informacją uzyskaną od zleceniodawcy, są wartościami stałymi

\*\* pomiary wykonano zgodnie z pkt 13., ppkt 2 załącznika do Rozporządzenia Ministra Klimatu z dnia 17 lutego 2020 r. (Dz. U. 2022, poz. 2630).

Parametry radiolinii:

Charakterystyka promieniowania		kierunkowa					
Rzeczywisty czas pracy [h/dobę]		24					
Warunki pracy		znamionowe					
Rodzaj wytwarzanego pola		stacjonarne					
Lp.	Linia radiowa			Antena			
	Typ/ Producent	Częstotliwość pracy [GHz]	Równoważna moc promieniowana izotropowo (EIRP) [W]	Typ/ producent	Średnica anteny [m]	Azymut [°]	Wysokość zainstalowania n.p.t [m]
1.	RTN XMC-5D 23G 28MHz XPIC<w.br/>RTN 380AX DC 70/80GHz 250MHz Huawei	23/80	5637/6310	A23D80S06 Huawei	0.6	47	33.8
2.	RTN XMC-3E 23G 28MHz XPIC<w.br/>RTN 380AX 70/80GHz 125MHz Huawei	23/80	9355/6310	A23D80S06 Huawei	0.6	111	33.3
3.	NEC iPasolink 200 Harris Stratex	38	355	VHLP1-38 Andrew	0.3	135	57
4.	NEC iPasolink EX Harris Stratex	80	7080	VHLP2-80 Andrew	0.6	146	35

Sprawozdanie z badań bez pisemnej zgody laboratorium nie może być powielane inaczej niż w całości.

Wynik przedstawione w niniejszym sprawozdaniu odnoszą się wyłącznie do badanego obiektu i do warunków i konfiguracji urządzeń w dniu wykonywania pomiarów.

Charakterystyka promieniowania				kierunkowa			
Rzeczywisty czas pracy [h/dobę]				24			
Warunki pracy				znamionowe			
Rodzaj wytwarzanego pola				stacjonarne			
Lp.	Linia radiowa			Antena			
	Typ/ Producent	Częstotliwość pracy [GHz]	Równoważna moc promieniowana izotropowo (EIRP) [W]	Typ/ producent	Srednica anteny [m]	Azymut [°]	Wysokość zainstalowania n.p.t [m]
5.	NEC IPasolink 100E Harris Stratex	32	631	VHLP1-32 Andrew	0 3	187	35
6.	RTN XMC-5D 23G 28MHz XPIC Huawei	23	6472	A23D06 Huawei	0 6	230	33.7
7.	RTN XMC-5D 18G 28MHz XPIC Huawei	18	3244	A18D80S06 Huawei	0 6	260	33.5
8.	NEC IPasolink 100E Harris Stratex	38	15	VHLP1-38 Andrew	0 3	332	57
9.	RTN XMC-5D 18G 28MHz XPIC Huawei	18	3244	A18D80S06 Huawei	0 6	335	33.5

#### 7.4 Inne źródła pól elektromagnetycznych

Na podstawie informacji otrzymanych od użytkownika oraz obserwacji otoczenia miejsca wykonywania pomiarów stwierdzono występowanie innych źródeł pola-EM, pracujących w systemie: telefonii komórkowej (800MHz-2600MHz), linii radiowych (5GHz – 90GHz), które istotnie wpływają na wyniki pomiarów.

### 8. Opis pomiarów

#### 8.1. Metoda badań

Zgodna z rozporządzeniem Ministra Klimatu z dnia 17 lutego 2020 r. w sprawie sposobów sprawdzania dotrzymania dopuszczalnych poziomów pól elektromagnetycznych w środowisku (Dz.U. 2022 poz. 2630), określona w pkt 25 ppkt 1 załącznika do niniejszego rozporządzenia.

#### 8.2. Termin pomiarów i warunki środowiskowe

Podczas wykonywania pomiarów pól elektromagnetycznych nie występowały opady atmosferyczne. Wyniki pomiaru parametrów pogodowych przedstawia poniższa tabela:

Data [rrrr-mm-dd]	Godzina [hh:mm-hh:mm]	Warunki środowiskowe			
		Temperatura [°C]		Wilgotność względna [%]	
2024-02-08	14:30-15:45	Przed pomiarem	Po pomiarach	Przed pomiarem	Po pomiarach
		3.4	3.3	84.6	88.5

Przedstawione wyżej warunki środowiskowe, występujące podczas wykonywania pomiarów pól elektromagnetycznych, są zgodne ze specyfikacją techniczną użytego zestawu pomiarowego.

#### 8.3. Warunki pracy urządzeń nadawczych

Podczas pomiarów w przypadku uzyskania wyniku pomiaru szerokopasmowego wykonanego zastosowaną metodą, dla zakresów częstotliwości od 10 MHz do 300 GHz, powiększonego o rozszerzoną niepewność pomiaru  $U$  dla współczynnika rozszerzenia  $k = 2$  przekraczającego 70% najniższej dopuszczalnej wartości składowej elektrycznej lub magnetycznej pola dla objętych pomiarami zakresów częstotliwości, uwzględnia się poprawki pomiarowe przekazane przez zleciennodawcę, umożliwiające uwzględnienie maksymalnych parametrów pracy instalacji zgodnie z pkt 7 załącznika do Rozporządzeniem Ministra Klimatu z dnia 17 lutego 2020 r. w sprawie sposobów sprawdzania dotrzymania dopuszczalnych poziomów pól elektromagnetycznych w środowisku (Dz. U. 2022, poz. 2630) zaznaczając, że wymagane jest wykonanie pomiaru z wykorzystaniem miernika selektywnego. W przypadku uzyskania wyniku

Sprawozdanie z badań bez pisemnej zgody laboratorium nie może być powielane inaczej niż w całości. Wynik przedstawione w niniejszym sprawozdaniu odnoszą się wyłącznie do badanego obiektu i do warunków i konfiguracji urządzeń w dniu wykonywania pomiarów.

pomiaru szerokopasmowego wykonanego zastosowaną metodą, dla zakresów częstotliwości od 10 MHz do 300 GHz, powiększonego o rozszerzoną niepewność pomiaru U dla współczynnika rozszerzenia  $k = 2$  nieprzekraczającego 70% najniższej dopuszczalnej wartości składowej elektrycznej lub magnetycznej pola dla objętych pomiarami zakresów częstotliwości, nie uwzględnia się poprawek pomiarowych.

#### 8.4. Wyposażenie pomiarowe

Zestaw pomiarowy służący do pomiaru natężenia składowej elektrycznej pola elektromagnetycznego złożony z szerokopasmowego miernika i sondy pomiarowej:

Oznaczenie miernika	Producent	Model	Numer fabryczny	Oznaczenie sondy	Producent	Model	Numer fabryczny
MF-02	Narda Safety Test Solution	Miernik pól elektromagnetycznych Narda FieldMan	B-0120	SF-04	Narda Safety Test Solution	Sonda EFD-0691	A-0156

Mierniki natężenia pola elektromagnetycznego podlegają okresowemu sprawdzeniu zgodnie z procedurą wewnętrzną P-03 i PB-01. Świadczenie wzorcowania zestawu pomiarowego z dnia 6 grudnia 2023 o numerze LWIMP/W/465/23 wydane przez Politechnikę Wrocławską.

Data ważności świadectwa wzorcowania: 6 grudnia 2025 (zgodnie z procedurą wewnętrzną P-03)

Oznaczenie miernika	Producent	Model	Numer fabryczny	Oznaczenie sondy	Producent	Model	Numer fabryczny
MF-02	Narda Safety Test Solution	Miernik pól elektromagnetycznych Narda FieldMan	B-0120	SF-03	Narda Safety Test Solution	Sonda EFD-6091	A-0061

Mierniki natężenia pola elektromagnetycznego podlegają okresowemu sprawdzeniu zgodnie z procedurą wewnętrzną P-03 i PB-01. Świadczenie wzorcowania zestawu pomiarowego z dnia 6 grudnia 2023 o numerze LWIMP/W/465/23 wydane przez Politechnikę Wrocławską.

Data ważności świadectwa wzorcowania: 6 grudnia 2025 (zgodnie z procedurą wewnętrzną P-03)

Termohigrometr:

Oznaczenie:	TH-29	Producent:	AZ INSTRUMENT CORP	Model:	Termohigrometr AZ8706
-------------	-------	------------	--------------------	--------	-----------------------

Data ważności świadectwa wzorcowania: 19 października 2025 (zgodnie z procedurą wewnętrzną P-03)

Dalmerz:

Oznaczenie	Producent	Typ	Numer seryjny	Nr świadectwa wzorcowania	Data świadectwa wzorcowania
D-07	Leica	Dalmerz Leica Disto X310	843810759	1146.4-M11-4180-396/15	8 kwietnia 2015

Data ważności świadectwa wzorcowania: 8 kwietnia 2025 (zgodnie z procedurą wewnętrzną P-03).

Odbiornik GNSS:

Odbiornik GNSS wbudowany w miernik natężenia pola elektromagnetycznego użyty podczas pomiarów	Producent	Model
	UBlox	NEO-M8T

Odbiorniki podlegają okresowemu sprawdzeniu zgodnie z procedurą wewnętrzną P-03.

## 9. Wyniki pomiarów

Pole elektryczne

Nr pionu	Opis umiejscowienia pionu (punktu) pomiarowego	Wysokość pomiaru [m]	Zmierzona wartość natężenia pola elektrycznego E [V/m] <sup>4,5</sup>			Wartość natężenia pola elektrycznego powiększona o niepewność pomiaru <sup>4</sup> E [V/m]	Wskaźnikowa wartość poziomu emisji pól elektromagnetycznych WMe <sup>3</sup>	Współrzędne geograficzne pionu (punktu) pomiarowego <sup>2</sup>
			Sonda SF-04	Sonda SF-03	SUMA			
1	GKP w odległości 5m od anteny sektorowej az. 43° i az. 47°	2.0	3.5	3.5	3.5	4.4	0.16	50°41'15.7" 21°43'27.8"

Sprawozdanie z badań bez pisemnej zgody laboratorium nie może być powielane inaczej niż w całości.

Wynik przedstawione w niniejszym sprawozdaniu odnoszą się wyłącznie do badanego obiektu i do warunków i konfiguracji urządzeń w dniu wykonywania pomiarów.

2	GKP w odległości 40m od anteny sektorowej az 43° i az. 47°	2.0	3.0	3 0	3 0	3 7	0 13	50°41'16.4" 21°43'29.3"
3	GKP w odległości 80m od anteny sektorowej az. 43° i az. 47°	0 3-2.0	<1 0*	<1 0*	<1.0*	1.2	0 04	50°41'17.5" 21°43'30.7"
4	GKP w odległości 120m od anteny sektorowej az. 43°	0 3-2 0	<1 0*	<1.0*	<1.0*	1.2	0.04	50°41'18.2" 21°43'31.8"
5	GKP w odległości 8m od anteny radioliniowej az. 111°	2.0	3.5	3.5	3 5	4 4	0.16	50°41'15.4" 21°43'28.2"
6	GKP w odległości 59m od anteny radioliniowej az. 111°	0 3-2 0	<1 0*	<1 0*	<1.0*	1.2	0.04	50°41'14.6" 21°43'30.7"
7	GKP w odległości 52m od anteny radioliniowej az 135°	0 3-2.0	<1 0*	<1 0*	<1.0*	1 2	0 04	50°41'14.3" 21°43'29.6"
8	GKP w odległości 49m od anteny radioliniowej az. 146°	0.3-2.0	<1.0*	<1.0*	<1.0*	1.2	0.04	50°41'14.3" 21°43'29.3"
9	GKP w odległości 4m od anteny sektorowej az 170°	2.0	3.3	3.3	3.3	4.1	0.15	50°41'15.4" 21°43'27.8"
10	GKP w odległości 9m od anteny sektorowej az. 170°	2 0	<b>3.7</b>	<b>3.7</b>	<b>3.7</b>	4 6	0 16	50°41'15.0" 21°43'27.8"
11	GKP w odległości 37m od anteny sektorowej az. 170°	0 3-2.0	<1 0*	<1 0*	<1 0*	1 2	0 04	50°41'14.3" 21°43'28.2"
12	GKP w odległości 74m od anteny sektorowej az 170°	0.3-2 0	<1 0*	<1.0*	<1.0*	1.2	0.04	50°41'13.2" 21°43'28.6"
13	GKP w odległości 60m od anteny radioliniowej az. 187°	0 3-2 0	<1.0*	<1.0*	<1 0*	1.2	0.04	50°41'13.6" 21°43'27.5"
14	GKP w odległości 10m od anteny radioliniowej az 230°	2.0	2.1	2 1	2 1	2.6	0.09	50°41'15.4" 21°43'27.1"
15	GKP w odległości 71m od anteny radioliniowej az 230°	0 3-2 0	<1 0*	<1.0*	<1.0*	1 2	0.04	50°41'13.9" 21°43'24.6"
16	GKP w odległości 9m od anteny radioliniowej az 260°	2 0	2 3	2.3	2.3	2.9	0 1	50°41'15.4" 21°43'27.1"
17	GKP w odległości 50m od anteny radioliniowej az. 260°	2.0	1.4	1.4	1.4	1.7	0.06	50°41'15.0" 21°43'25.0"
18	GKP w odległości 2m od anteny sektorowej az 280°	2 0	1.5	1.5	1.5	1.9	0.07	50°41'15.4" 21°43'27.5"
19	GKP w odległości 40m od anteny sektorowej az 280°	2 0	1 4	1 4	1.4	1.7	0 06	50°41'15.7" 21°43'25.7"
20	GKP w odległości 80m od anteny sektorowej az 280°	2 0	1.9	1.9	1 9	2.4	0.08	50°41'16.1" 21°43'23.5"

Sprawozdanie z badań bez pisemnej zgody laboratorium nie może być powielane inaczej niż w całości  
 Wynik przedstawione w niniejszym sprawozdaniu odnoszą się wyłącznie do badanego obiektu i do warunków i konfiguracji urządzeń w dniu wykonywania pomiarów.

-	GKP w odległości 120m od anteny sektorowej az. 280°	0.3-2.0	<1.0*	<1.0*	<1.0*	1.2	0.04	50°41'16.1" 21°43'21.4"
22	GKP w odległości 5m od anteny radioliniowej az. 332°	2.0	2.8	2.8	2.8	3.5	0.12	50°41'15.7" 21°43'27.5"
23	GKP w odległości 40m od anteny radioliniowej az. 332°	2.0	2.1	2.1	2.1	2.6	0.09	50°41'16.4" 21°43'26.4"
24	GKP w odległości 4m od anteny radioliniowej az. 335°	2.0	2.7	2.7	2.7	3.4	0.12	50°41'15.7" 21°43'27.5"
25	GKP w odległości 37m od anteny radioliniowej az. 335°	2.0	2.1	2.1	2.1	2.6	0.09	50°41'16.8" 21°43'26.8"
26	PKP na az. 357° w odległości 37m od anteny sektorowej az. 43°	2.0	2.8	2.8	2.8	3.5	0.12	50°41'16.8" 21°43'27.5"
27	PKP na az. 13° w odległości 38m od anteny sektorowej az. 43°	2.0	2.8	2.8	2.8	3.5	0.12	50°41'16.8" 21°43'28.2"
28	PKP na az. 28° w odległości 43m od anteny sektorowej az. 43°	2.0	2.9	2.9	2.9	3.6	0.13	50°41'16.8" 21°43'28.9"
29	PKP na az. 58° w odległości 39m od anteny sektorowej az. 43°	2.0	2.8	2.8	2.8	3.5	0.12	50°41'16.1" 21°43'29.3"
30	PKP na az. 73° w odległości 55m od anteny sektorowej az. 43°	2.0	2.7	2.7	2.7	3.4	0.12	50°41'16.1" 21°43'30.4"
31	PKP na az. 89° w odległości 48m od anteny sektorowej az. 43°	2.0	2.7	2.7	2.7	3.4	0.12	50°41'15.7" 21°43'30.4"
32	PKP na az. 124° w odległości 55m od anteny sektorowej az. 170°	0.3-2.0	<1.0*	<1.0*	<1.0*	1.2	0.04	50°41'14.3" 21°43'30.0"
33	PKP na az. 155° w odległości 49m od anteny sektorowej az. 170°	0.3-2.0	<1.0*	<1.0*	<1.0*	1.2	0.04	50°41'13.9" 21°43'28.9"
34	PKP na az. 200° w odległości 70m od anteny sektorowej az. 170°	0.3-2.0	<1.0*	<1.0*	<1.0*	1.2	0.04	50°41'13.2" 21°43'26.4"
35	PKP na az. 216° w odległości 90m od anteny sektorowej az. 170°	2.0	1.7	1.7	1.7	2.1	0.08	50°41'13.2" 21°43'25.0"
36	PKP na az. 234° w odległości 124m od anteny sektorowej az. 280°	0.3-2.0	<1.0*	<1.0*	<1.0*	1.2	0.04	50°41'13.2" 21°43'22.4"
-	PKP na az. 250° w odległości	0.3-2.0	<1.0*	<1.0*	<1.0*	1.2	0.04	50°41'14.3" 21°43'22.1"

Sprawozdanie z badań bez pisemnej zgody laboratorium nie może być powielane inaczej niż w całości.  
 Wynik przedstawione w niniejszym sprawozdaniu odnoszą się wyłącznie do badanego obiektu i do warunków i konfiguracji urządzeń w dniu wykonywania pomiarów.

	116m od anteny sektorowej az. 280°							
-	PKP na az. 265° w odległości 115m od anteny sektorowej az. 280°	0.3-2.0	<1.0*	<1.0*	<1.0*	1.2	0.04	50°41'15.0" 21°43'21.7"
39	PKP na az. 295° w odległości 65m od anteny sektorowej az. 280°	2.0	1.3	1.3	1.3	1.6	0.06	50°41'16.4" 21°43'24.6"
40	PKP na az. 310° w odległości 48m od anteny sektorowej az. 280°	2.0	2.0	2.0	2.0	2.5	0.09	50°41'16.4" 21°43'25.7"
41	DPP - za trwale zamkniętym oknie biura, piętro 1, ul. Polskiej Organizacji Wojskowej 8	0.3-2.0	<1.0*	<1.0*	<1.0*	1.2	0.04	50°41'15.7" 21°43'30.7"
42	DPP - za trwale zamkniętym oknie klatki schodowej, piętro 3, ul. Polskiej Organizacji Wojskowej 8	0.3-2.0	<1.0*	<1.0*	<1.0*	1.2	0.04	50°41'14.6" 21°43'27.5"
-	GKP w odległości 287m od anteny sektorowej az. 170°	0.3-2.0	<1.0*	<1.0*	<1.0*	1.2	0.04	50°41'6.4" 21°43'30.4"
-	GKP w odległości 253m od anteny sektorowej az. 43°	0.3-2.0	<1.0*	<1.0*	<1.0*	1.2	0.04	50°41'21.5" 21°43'36.5"
-	GKP w odległości 907m od anteny sektorowej az. 280°	0.3-2.0	<1.0*	<1.0*	<1.0*	1.2	0.04	50°41'20.4" 21°42'42.1"

Pole magnetyczne (wyznaczone na podstawie pomiaru wartości natężenia pola elektrycznego)

Nr pionu	Opis umiejscowienia pionu (punktu pomiarowego)	Wysokość pomiaru [m]	Wartość natężenia pola magnetycznego H [A/m] <sup>1</sup>			Wartość natężenia pola magnetycznego powiększona o niepewność pomiaru <sup>2</sup> H [A/m]	Wskaźnikowa wartość poziomu emisji pól elektromagnetycznych WM <sub>H</sub> <sup>3</sup>	Współrzędne geograficzne pionu (punktu pomiarowego) <sup>2</sup>
			Sonda SF-04	Sonda SF-03	SUMA			
1	GKP w odległości 5m od anteny sektorowej az. 43° i az. 47°	2.0	0.009	0.009	0.009	0.012	0.16	50°41'15.7" 21°43'27.8"
2	GKP w odległości 40m od anteny sektorowej az. 43° i az. 47°	2.0	0.008	0.008	0.008	0.01	0.14	50°41'16.4" 21°43'29.3"
3	GKP w odległości 80m od anteny sektorowej az. 43° i az. 47°	0.3-2.0	<0.003*	<0.003*	<0.003*	0.003	0.05	50°41'17.5" 21°43'30.7"
4	GKP w odległości 120m od anteny sektorowej az. 43°	0.3-2.0	<0.003*	<0.003*	<0.003*	0.003	0.05	50°41'18.2" 21°43'31.8"

Sprawozdanie z badań bez pisemnej zgody laboratorium nie może być powielane inaczej niż w całości.  
 Wynik przedstawione w niniejszym sprawozdaniu odnoszą się wyłącznie do badanego obiektu i do warunków i konfiguracji urządzeń w dniu wykonywania pomiarów.

5	GKP w odległości 8m od anteny radioliniowej az. 111°	2.0	0.009	0.009	0 009	0 012	0.16	50°41'15.4" 21°43'28.2"
6	GKP w odległości 59m od anteny radioliniowej az. 111°	0.3-2.0	<0.003*	<0.003*	<0 003*	0 003	0.05	50°41'14.6" 21°43'30.7"
7	GKP w odległości 52m od anteny radioliniowej az. 135°	0.3-2.0	<0.003*	<0.003*	<0 003*	0 003	0.05	50°41'14.3" 21°43'29.6"
8	GKP w odległości 49m od anteny radioliniowej az. 146°	0.3-2 0	<0.003*	<0 003*	<0.003*	0.003	0.05	50°41'14.3" 21°43'29.3"
9	GKP w odległości 4m od anteny sektorowej az. 170°	2 0	0.009	0.009	0 009	0 011	0.15	50°41'15.4" 21°43'27.8"
10	GKP w odległości 9m od anteny sektorowej az 170°	2 0	<b>0.010</b>	<b>0.010</b>	0.010	0.012	0.17	50°41'15.0" 21°43'27.8"
11	GKP w odległości 37m od anteny sektorowej az 170°	0.3-2 0	<0.003*	<0 003*	<0 003*	0 003	0.05	50°41'14.3" 21°43'28 2"
12	GKP w odległości 74m od anteny sektorowej az. 170°	0.3-2 0	<0.003*	<0 003*	<0.003*	0 003	0.05	50°41'13.2" 21°43'28.6"
13	GKP w odległości 60m od anteny radioliniowej az. 187°	0 3-2 0	<0 003*	<0 003*	<0.003*	0.003	0.05	50°41'13.6" 21°43'27.5"
14	GKP w odległości 10m od anteny radioliniowej az. 230°	2 0	0.006	0.006	0.006	0.007	0.09	50°41'15.4" 21°43'27.1"
15	GKP w odległości 71m od anteny radioliniowej az. 230°	0.3-2 0	<0.003*	<0 003*	<0 003*	0 003	0 05	50°41'13.9" 21°43'24.6"
16	GKP w odległości 9m od anteny radioliniowej az. 260°	2 0	0 006	0 006	0.006	0.008	0.1	50°41'15.4" 21°43'27.1"
17	GKP w odległości 50m od anteny radioliniowej az. 260°	2.0	0 004	0 004	0 004	0.005	0 06	50°41'15.0" 21°43'25.0"
18	GKP w odległości 2m od anteny sektorowej az. 280°	2.0	0 004	0.004	0.004	0.005	0.07	50°41'15.4" 21°43'27.5"
19	GKP w odległości 40m od anteny sektorowej az. 280°	2.0	0.004	0.004	0 004	0.005	0.06	50°41'15 7" 21°43'25.7"
20	GKP w odległości 80m	2 0	0.005	0.005	0 005	0.006	0 09	50°41'16.1" 21°43'23.5"

Sprawozdanie z badań bez pisemnej zgody laboratorium nie może być powielane inaczej niż w całości  
 Wynik przedstawione w niniejszym sprawozdaniu odnoszą się wyłącznie do badanego obiektu i do warunków i konfiguracji urządzeń w dniu wykonywania pomiarów

	od anteny sektorowej az. 280°							
-	GKP w odległości 120m od anteny sektorowej az. 280°	0.3-2.0	<0.003*	<0.003*	<0.003*	0.003	0.05	50°41'16.1" 21°43'21.4"
22	GKP w odległości 5m od anteny radioliniowej az. 332°	2.0	0.007	0.007	0.007	0.009	0.13	50°41'15.7" 21°43'27.5"
23	GKP w odległości 40m od anteny radioliniowej az. 332°	2.0	0.006	0.006	0.006	0.007	0.09	50°41'16.4" 21°43'26.4"
24	GKP w odległości 4m od anteny radioliniowej az. 335°	2.0	0.007	0.007	0.007	0.009	0.12	50°41'15.7" 21°43'27.5"
25	GKP w odległości 37m od anteny radioliniowej az. 335°	2.0	0.006	0.006	0.006	0.007	0.09	50°41'16.8" 21°43'26.8"
26	PKP na az. 357° w odległości 37m od anteny sektorowej az. 43°	2.0	0.007	0.007	0.007	0.009	0.13	50°41'16.8" 21°43'27.5"
27	PKP na az. 13° w odległości 38m od anteny sektorowej az. 43°	2.0	0.007	0.007	0.007	0.009	0.13	50°41'16.8" 21°43'28.2"
28	PKP na az. 28° w odległości 43m od anteny sektorowej az. 43°	2.0	0.008	0.008	0.008	0.01	0.13	50°41'16.8" 21°43'28.9"
29	PKP na az. 58° w odległości 39m od anteny sektorowej az. 43°	2.0	0.007	0.007	0.007	0.009	0.13	50°41'16.1" 21°43'29.3"
30	PKP na az. 73° w odległości 55m od anteny sektorowej az. 43°	2.0	0.007	0.007	0.007	0.009	0.12	50°41'16.1" 21°43'30.4"
31	PKP na az. 89° w odległości 48m od anteny sektorowej az. 43°	2.0	0.007	0.007	0.007	0.009	0.12	50°41'15.7" 21°43'30.4"
32	PKP na az. 124° w odległości 55m od anteny sektorowej az. 170°	0.3-2.0	<0.003*	<0.003*	<0.003*	0.003	0.05	50°41'14.3" 21°43'30.0"
33	PKP na az. 155° w odległości 49m od anteny sektorowej az. 170°	0.3-2.0	<0.003*	<0.003*	<0.003*	0.003	0.05	50°41'13.9" 21°43'28.9"
34	PKP na az. 200° w odległości 70m od anteny	0.3-2.0	<0.003*	<0.003*	<0.003*	0.003	0.05	50°41'13.2" 21°43'26.4"

Sprawozdanie z badań bez pisemnej zgody laboratorium nie może być powielane inaczej niż w całości.  
 Wynik przedstawione w niniejszym sprawozdaniu odnoszą się wyłącznie do badanego obiektu i do warunków i konfiguracji urządzeń w dniu wykonywania pomiarów.



	sektorowej az. 170°							
35	PKP na az 216° w odległości 90m od anteny sektorowej az. 170°	2.0	0.005	0.005	0.005	0.006	0.08	50°41'13.2" 21°43'25.0"
36	PKP na az 234° w odległości 124m od anteny sektorowej az. 280°	0.3-2.0	<0.003*	<0.003*	<0.003*	0.003	0.05	50°41'13.2" 21°43'22.4"
-	PKP na az. 250° w odległości 116m od anteny sektorowej az. 280°	0.3-2.0	<0.003*	<0.003*	<0.003*	0.003	0.05	50°41'14.3" 21°43'22.1"
-	PKP na az. 265° w odległości 115m od anteny sektorowej az. 280°	0.3-2.0	<0.003*	<0.003*	<0.003*	0.003	0.05	50°41'15.0" 21°43'21.7"
39	PKP na az 295° w odległości 65m od anteny sektorowej az. 280°	2.0	0.003	0.003	0.003	0.004	0.06	50°41'16.4" 21°43'24.6"
40	PKP na az. 310° w odległości 48m od anteny sektorowej az 280°	2.0	0.005	0.005	0.005	0.007	0.09	50°41'16.4" 21°43'25.7"
41	DPP - za trwale zamkniętym oknie biura, piętro 1, ul. Polskiej Organizacji Wojskowej 8	0.3-2.0	<0.003*	<0.003*	<0.003*	0.003	0.05	50°41'15.7" 21°43'30.7"
42	DPP - za trwale zamkniętym oknie klatki schodowej, piętro 3, ul. Polskiej Organizacji Wojskowej 8	0.3-2.0	<0.003*	<0.003*	<0.003*	0.003	0.05	50°41'14.6" 21°43'27.5"
-	GKP w odległości 287m od anteny sektorowej az. 170°	0.3-2.0	<0.003*	<0.003*	<0.003*	0.003	0.05	50°41'16.4" 21°43'30.4"
-	GKP w odległości 253m od anteny sektorowej az. 43°	0.3-2.0	<0.003*	<0.003*	<0.003*	0.003	0.05	50°41'21.5" 21°43'36.5"
-	GKP w odległości 907m od anteny sektorowej az. 280°	0.3-2.0	<0.003*	<0.003*	<0.003*	0.003	0.05	50°41'20.4" 21°42'42.1"

Sprawozdanie z badań bez pisemnej zgody laboratorium nie może być powielane inaczej niż w całości.  
 Wynik przedstawione w niniejszym sprawozdaniu odnoszą się wyłącznie do badanego obiektu i do warunków i konfiguracji urządzeń w dniu wykonywania pomiarów.

GKP – Główny Kierunek Pomiarowy

DPP – Dodatkowy Pion Pomiarowy

PKP – Pomocniczy Kierunek Pomiarowy

<sup>1</sup> wyniki oznaczone \* są wynikami poniżej czułości zestawu pomiarowego i są wynikami spoza zakresu akredytacji. Do obliczenia wyniku skorygowanego przyjęto wartość skorelowaną z rzeczywistym wynikiem pomiaru - dolną granicę akredytowanego zakresu pomiarowego metody

<sup>2</sup> współrzędne geograficzne pozyskane metodą pomiaru bezpośredniego

<sup>3</sup> do wyznaczenia wartości wskaźnikowej  $WM_E$  i  $WM_H$  przyjęto na podstawie uzgodnień z klientem oraz rozpoznania źródeł, jako wartości dopuszczalne pola elektrycznego i magnetycznego odpowiednio 28 V/m i 0,073 A/m.

<sup>4</sup> do wyznaczenia niepewności dla wyników poniżej czułości zestawu pomiarowego, przyjęto niepewność dla minimalnej wartości z zakresu pomiarowego.

<sup>5</sup> maksymalna wartość chwilowa

Niepewność oszacowano zgodnie z dokumentem P-03 „Procedura nadzoru nad wyposażeniem” w postaci niepewności rozszerzonej wynikającej z niepewności standardowej pomnożonej przez współczynnik rozszerzenia  $k=2$ .

Całkowita szacowana niepewność rozszerzona składowej E wynosi odpowiednio:

sonda SF-04. 24.4% dla częstotliwości do 4 GHz, sonda SF-03. 28.8% dla częstotliwości do 4 GHz

Umieszczenie pionów (punktów) pomiarowych przedstawiono w załączniku nr 2 do niniejszego sprawozdania.

## 10. Omówienie wyników pomiarów

W związku z tym, że żadna z wartości zmierzonych, udokumentowanych w tabelach w pkt. 9, uzyskanych w skutek zastosowania pomiaru szerokopasmowego, powiększonego o rozszerzoną niepewność pomiaru U dla współczynnika rozszerzenia  $k = 2$  nie przekroczyła 70% najniższej dopuszczalnej wartości składowej elektrycznej lub magnetycznej pola dla objętych pomiarami zakresów częstotliwości, nie uwzględnia się poprawek pomiarowych.

W wyniku zastosowania sposobu sprawdzenia dotrzymania dopuszczalnych poziomów pól elektromagnetycznych w środowisku, zgodnie pkt 25 ppkt 1 Rozporządzenia Ministra Klimatu z dnia 17 lutego 2020 r. (Dz. U. 2022, poz. 2630), w związku z tym, że żadna z wartości wskaźnikowych, udokumentowanych w tabelach w pkt. 9 nie przekracza wartości 1, stwierdza się, że w miejscach, w których wykonano pomiary w otoczeniu instalacji radiokomunikacyjnej 56107 (24107N1) KTB\_SANDOMIER\_OPEC, dopuszczalne poziomy pól elektromagnetycznych w środowisku należy uznać za dotrzymane.

Miejsca niedostępne podczas wykonywania pomiarów wskazane zostały w pkt. 9 (Wyniki pomiarów) lub na załączniku przedstawiającym usytuowanie pionów pomiarowych.

## 11. Podstawa prawna

- 1) Ustawa z dnia 27 kwietnia 2001 r. Prawo ochrony środowiska (Dz.U. 2022 poz. 2556)
- 2) Rozporządzenie Ministra Zdrowia z dnia 17 grudnia 2019 r. w sprawie dopuszczalnych poziomów pól elektromagnetycznych w środowisku (Dz. U. 2019, poz. 2448)
- 3) Rozporządzenie Ministra Klimatu z dnia 17 lutego 2020 r. w sprawie sposobów sprawdzania dotrzymania dopuszczalnych poziomów pól elektromagnetycznych w środowisku (Dz. U. 2022, poz. 2630),
- 4) Akredytacja nr AB 419 wydana przez Polskie Centrum Akredytacji (wydanie 22, z dnia 9 stycznia 2024 r.)

## 12. Spis załączników

Załącznik 1. Lokalizacja obiektu badań

Załącznik 2. Usytuowanie pionów (punktów) pomiarowych

Załącznik 3. Dokumentacja fotograficzna obiektu badań

## 13. Data wydania i autoryzowania sprawozdania

Obliczenia i sprawozdanie wykonał :

Sprawozdanie autoryzował:



Signed by /  
Podpisano przez

Angelika  
Okoniewska

Date / Data  
2024-02-12 08:56

Tomasz  
Zborowski

Elektronicznie podpisany  
przez Tomasz Zborowski  
Data. 2024.02.12 09:05:34  
+01'00'

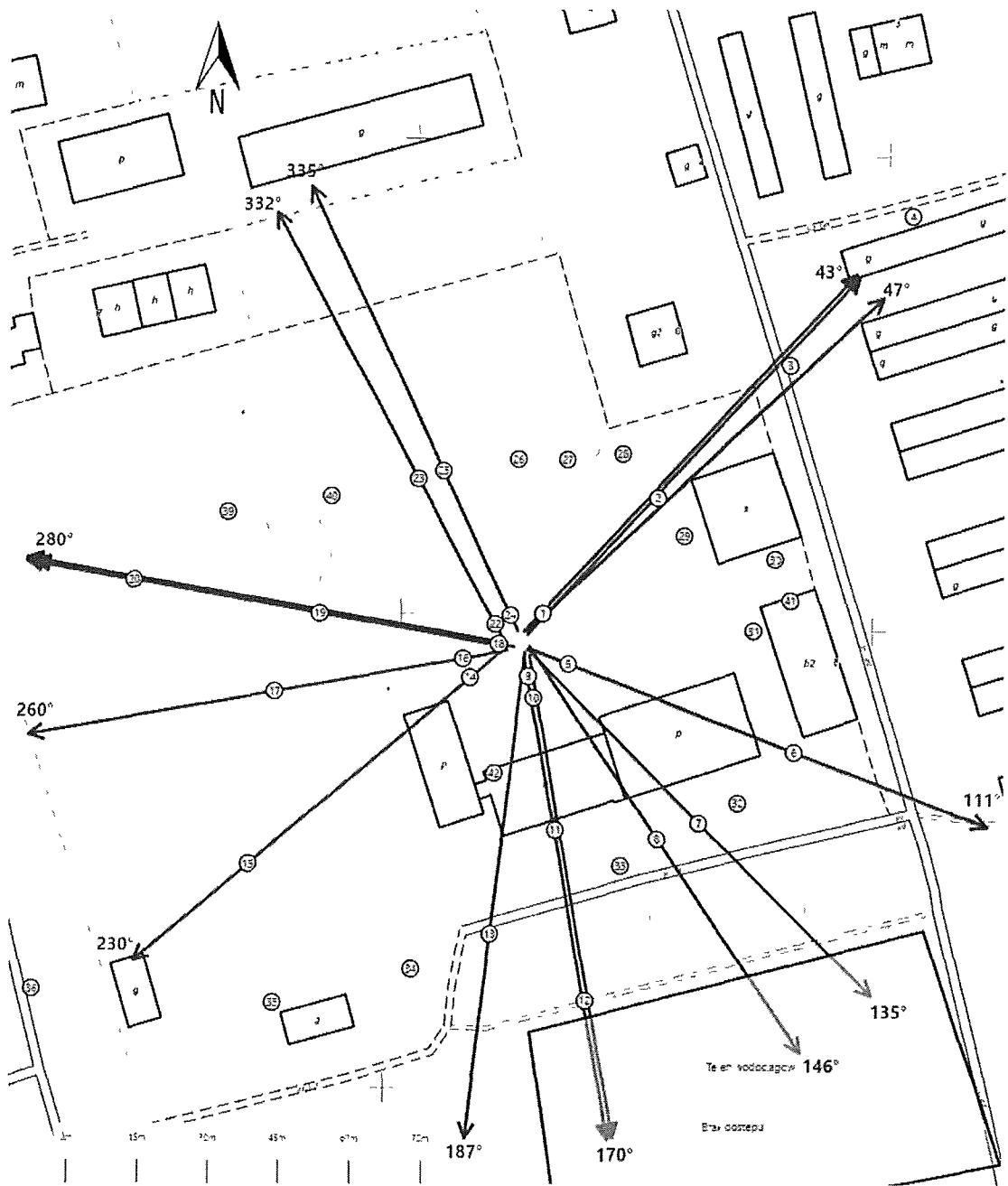
**Koniec sprawozdania**













Sprawozdanie z badań bez pisemnej zgody laboratorium nie może być powielane inaczej niż w całości.  
Wynik przedstawione w niniejszym sprawozdaniu odnoszą się wyłącznie do badanego obiektu i do warunków i konfiguracji urządzeń w dniu wykonywania pomiarów.



<b>Załącznik nr 1</b>	Instalacja radiokomunikacyjna T-Mobile Polska S.A. 56107 (24107NI) KTB_SANDOMIER_OPEC  Lokalizacja instalacji radiokomunikacyjnej
-----------------------	--

Sprawozdanie z badań bez pisemnej zgody laboratorium nie może być powielane inaczej niż w całości.  
Wynik przedstawione w niniejszym sprawozdaniu odnoszą się wyłącznie do badanego obiektu i do warunków i konfiguracji urządzeń w dniu wykonywania pomiarów.



Załącznik nr 2	Instalacja radiokomunikacyjna T-Mobile Polska S A KTB_SANDOMIER_OPEC (24107N1) Usytuowanie pionów pomiarowych w otoczeniu instalacji radiokomunikacyjnej								
Legenda	<table style="width: 100%; text-align: center;"> <tr> <td style="width: 25%;"></td> <td style="width: 25%;"></td> <td style="width: 25%;"></td> <td style="width: 25%;"></td> </tr> <tr> <td>Brak dostępu</td> <td>Pion pomiarowy</td> <td>Kierunek oddziaływania anten sektorowych</td> <td>Kierunek oddziaływania anten radioliniowych</td> </tr> </table>					Brak dostępu	Pion pomiarowy	Kierunek oddziaływania anten sektorowych	Kierunek oddziaływania anten radioliniowych
									
Brak dostępu	Pion pomiarowy	Kierunek oddziaływania anten sektorowych	Kierunek oddziaływania anten radioliniowych						

Sprawozdanie z badań bez pisemnej zgody laboratorium nie może być powielane inaczej niż w całości.  
 Wynik przedstawione w niniejszym sprawozdaniu odnoszą się wyłącznie do badanego obiektu i do warunków i konfiguracji urządzeń w dniu wykonywania pomiarów.



Załącznik nr 3

Instalacja radiokomunikacyjna T-Mobile Polska S.A.  
56107 (24107N) KTB\_SANDOMIER\_OPEC

Dokumentacja fotograficzna

Sprawozdanie z badań bez pisemnej zgody laboratorium nie może być powielane inaczej niż w całości.  
Wynik przedstawione w niniejszym sprawozdaniu odnoszą się wyłącznie do badanego obiektu i do warunków i konfiguracji urządzeń w dniu wykonywania pomiarów.